

# 3D Rasterization

## Unifying Rasterization and Ray Casting

Simon Christoph Stein

Georg-August-Universität Göttingen

20 Dez 2011

- Traditionelle Renderverfahren
  - Rasterung
  - Raytracing
- 3D-Rasterung
  - Algorithmus
  - Vergleich 2D/3D-Rasterung
- Anwendung von 3D-Rasterung
  - Nicht-planare Viewports
  - Antialiasing und eindeutiges Rendern
  - Kontinuum zwischen Ray Casting und Rasterung
  - Bilder
- Quellen

# Teil I

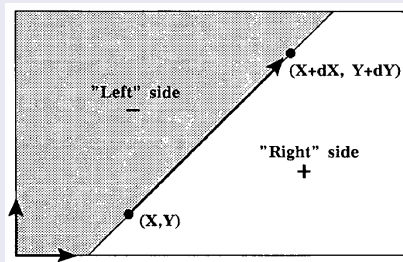
## Traditionelle Renderverfahren

# Rasterung

- Derzeitiger Standard für Echtzeitgrafik (Privatanwender)
- Renderingpipeline (Skizze):
  - Modeling & Viewing Transformation (optional: Belichtung)
  - Clipping & Projektion
  - (Hierarchische) Rasterung & Early Z-Test, Interpolation von Vertex-Attributen, Pixel-Shading, Texturierung
  - Tiefentest, Stencil Operationen, Blending etc.
- **Rasterung:** Umwandlung von kontinuierlicher Beschreibung von Objekten im Bildraum (2D) in diskrete Rastergrafiken
- Traversierung der Szene:

```
Für jedes Dreieck{
    Für jedes Pixel{
        Wenn(Sichtbar(Pixel,Dreieck))
        Ausgabe
    }
}
```

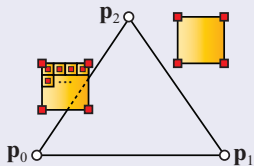
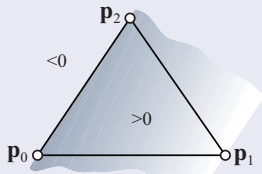
- Prüfung nötig, ob ein Pixel von einem gegebenen Dreieck überdeckt wird
- $\Rightarrow$  Effiziente Methode über 2D-Kantenfunktionen



Quelle: [4]

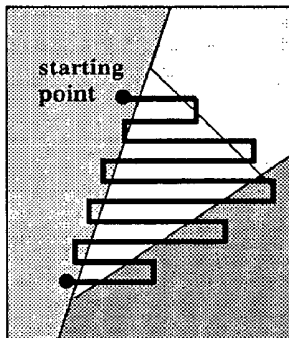
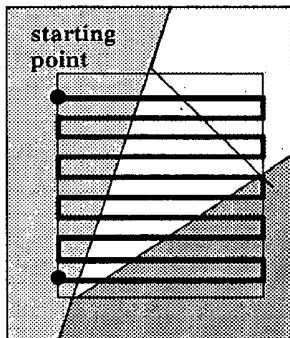
- $$E(x, y) = (x - X)dY - (y - Y)dX = \left( \begin{pmatrix} x - X \\ y - Y \\ 0 \end{pmatrix} \times \begin{pmatrix} (X + dX) - X \\ (Y + dY) - Y \\ 0 \end{pmatrix} \right)_z$$
- $E(x, y) > 0$  wenn  $(x, y)$  auf der rechten Seite
- $E(x, y) < 0$  wenn  $(x, y)$  auf der linken Seite
- $E(x, y) = 0$  wenn  $(x, y)$  auf Linie

- Wenn  $E_i(x, y) > 0$  für alle Kantenfunktionen  $i = 0, 1, 2$  gilt  
 $\Rightarrow$  Pixel liegt in Dreieck.
- Inkrementelle Berechnung möglich:
  - $E(x + 1, y) = E(x, y) + dY$
  - $E(x, y + 1) = E(x, y) - dX$



Quelle: [1]

- Wichtig für eine hohe Geschwindigkeit ist **Binning**:  
 Schnelle Schätzung, welche Pixelbereiche für ein gegebenes Dreieck geprüft werden müssen.
- Üblich ist die Prüfung an den vier Eckpunkten eines quadratischen „Bins“ gegen ein Dreieck



Quelle: [4]

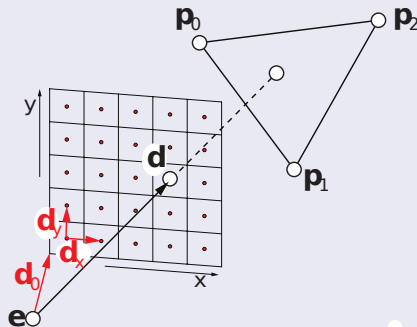
- Naiver Binning-Algorithmus: Bounding Box (linke Abb.)
- Besser über hierarchische Strukturen (z.B: Quad Trees)

# Raytracing

- Aktuell bevorzugt im professionellen Bereich (Kinofilme, CAD)
- Sichtbarkeitstests durch Strahlverfolgung in Welt- oder Kamerakoordinaten
- Für jeden Pixel wird ein Strahl vom Auge des Betrachters in die Szene geschickt
- Traversierung der Szene:

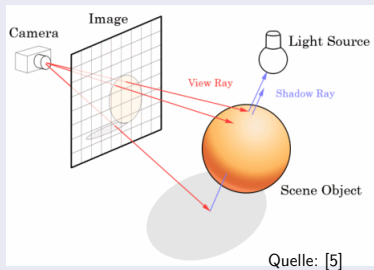
```
Für jedes Pixel{  
    Für jedes Dreieck{  
        Wenn(Sichtbar(Pixel,Dreieck))  
        Ausgabe  
    }  
}
```





Quelle: [1]

- Um nicht für jeden Strahl gegen jedes Dreieck testen zu müssen werden optimierte Raumstrukturen verwendet, z.B. Octree, kd-tree, BVH oder 3D Gitter
- Rechenaufwand steigt logarithmisch mit Anzahl der Primitive (Rasterung: linear) und linear in Anzahl der Pixel.



- Wird nur die Sichtbarkeitsprüfung über die Primärstrahlen verwendet, spricht man oft von **Ray Casting**
- Wenn vom Auftreffpunkt weitere Sekundärstrahlen ausgesandt werden (z.B. reflektierter und gebrochener Strahl, Schattenstrahl) verwendet man den Begriff **Raytracing**
- ⇒ Gutes Framework für fotorealistische Beleuchtung

## Teil II

# 3D Rasterung

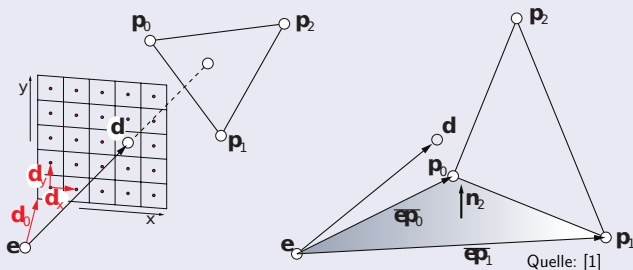
# 3D Rasterung

## 3D Rasterung

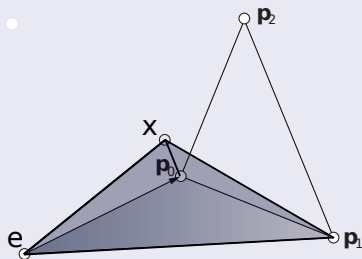
- **Ziel:** Algorithmus, der Eigenschaften sowohl von Raytracing als auch Rasterung besitzt und Konzepte zwischen beiden Verfahren austauschen kann.
- **Idee:** Test, ob Pixel von 2D Dreieck bedeckt wird ist äquivalent dazu, ob ein Strahl vom Beobachter durch diesen Pixel das Dreieck schneidet.  
⇒ Verwendung einer Ray Casting Variante für 3D Rasterung
- 3D Rasterung arbeitet direkt in Welt- oder Kamerakoordinaten und verwendet daher durchgängig Fließkommaoperationen
- ⇒ Für Verwendung auf hochparallelisierten Architekturen wie Intel's *Knights Ferry* (vormals *Larrabee*) gedacht.

## 3D Kantenfunktion

- Wir wollen eine 3D-Kantenfunktion definieren.



- Annahme: Beobachter im Ursprung  $\vec{e} = 0$
- Strahlrichtung  $\vec{d} = \vec{d}_0 + x\vec{d}_x + y\vec{d}_y$
- Dreieck mit Vertices  $\vec{p}_0, \vec{p}_1, \vec{p}_2$
- Normalenvektor  $\vec{n}_2 = \vec{p}_1 \times \vec{p}_0$



- Spatprodukt  $V_2(\vec{x}) = n_2 \cdot \vec{x} = (\vec{p}_1 \times \vec{p}_0) \cdot \vec{x}$  liefert Volumen des Tetraeders, der von  $\vec{p}_0, \vec{p}_1, \vec{x}$  und  $\vec{e}$  aufgespannt wird. (Skalenfaktor  $\frac{1}{6}$  unwichtig)
- $V_2(\vec{x}) > 0$  für alle  $\vec{x}$  im Halbraum der  $\vec{p}_2$  enthält.

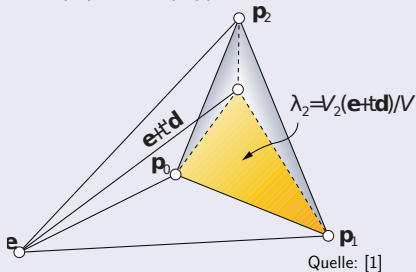
## Definitionen:

- $\vec{n}_i := \vec{p}_{(i+2) \bmod 3} \times \vec{p}_{(i+1) \bmod 3}$
- $V_i(\vec{x}) := \vec{n}_i \cdot \vec{x}$  mit  $i = 0, 1, 2$
- $V := \vec{p}_j \cdot \vec{n}_j$  für  $j = 0, 1, 2$  beliebig  
Gesamtvolumen des Tetraders, der vom Dreieck mit dem Ursprung aufgespannt wird

- Der Strahl  $\vec{e} + t'\vec{d}$ ,  $t' > 0$  trifft das Dreieck, wenn alle vier Volumina das gleiche Vorzeichen haben.
- $V_i, V > 0$ , Strahl trifft auf Frontfläche des Dreiecks
- $V_i, V < 0$ , Strahl trifft auf Rückseite des Dreiecks

Am Schnittpunkt gilt:

- $V = V_0(t\vec{d}) + V_1(t\vec{d}) + V_2(t\vec{d})$
- $t = V / (V_0(\vec{d}) + V_1(\vec{d}) + V_2(\vec{d}))$



- Baryzentrische Koordinaten des Schnittpunkts leicht berechenbar:
- $t\vec{d} = \lambda_0\vec{p}_0 + \lambda_1\vec{p}_1 + \lambda_2\vec{p}_2$   
mit  $\lambda_i = V_i(\vec{d}) / (V_0(\vec{d}) + V_1(\vec{d}) + V_2(\vec{d}))$



- Strahlparameter  $t$  nicht für Schnitttest oder baryzentrische Koordinaten benötigt..
- .. aber möglich, über  $t$  den Schnittpunkt in Welt-/ Kamerakoord. direkt zu berechnen und einen Tiefentest durchzuführen (ähnlich Z-Buffer).

- Definition der Ableitungen  $V_{i,x}$ ,  $V_{i,y}$ :
- $V_i(\vec{d}) = \vec{n}_i \cdot \vec{d} = \vec{n}_i \cdot (\vec{d}_0 + x\vec{d}_x + y\vec{d}_y)$   
 $V_{i,x} = \frac{\partial V_i(\vec{d})}{\partial x} = \vec{n}_i \cdot \vec{d}_x$ ,  $V_{i,y} = \frac{\partial V_i(\vec{d})}{\partial y} = \vec{n}_i \cdot \vec{d}_y$
- Effiziente Berechnung im Fall eines planaren Viewports möglich, da  $V_i(\vec{d}_0) + xV_{i,x} + yV_{i,y}$  für ein gegebenes Pixel  $(x, y)$ . (Auch für komplexere Viewports lässt sich oft ein inkrementelles Schema finden).

# Vergleich 2D/3D Rasterung

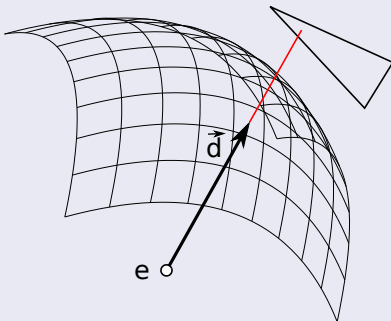
- Beide nutzen Kantenfunktionen zur Sichtbarkeitsprüfung
- 3D Rasterung kann schneller sein, insbesondere bei Berechnungen von perspektivisch korrekten Baryzentrischen Koordinaten.
- 3D Rasterung erfordert keine Projektion und kein Clipping.  
⇒ Auch nicht-planare Viewports möglich (entspricht Verzerrungen / nichtlinearer Projektion)
- Rechteck für „Binning“ in 2D, Pyramidenstumpf in 3D
- 2D Rasterung arbeitet mit Fixed-Point Arithmetik, während 3D Rasterung Fließkomma-Arithmetik benötigt.

## Teil III

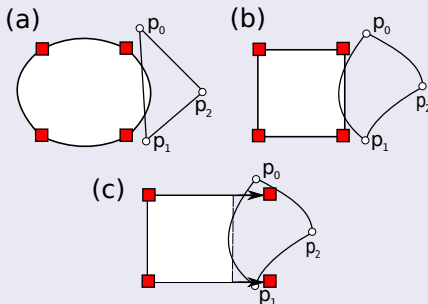
# Anwendung von 3D Rasterung

# Nicht-planare Viewports

- Linsenverzerrungen einfach möglich, indem „Sichtfenster“ verzerrt wird.
- Beispiel: Weitwinkelleffekt mit Paraboloid  
$$f(x, y) = \frac{1}{2} - \frac{1}{2} \cdot (x^2 + y^2)$$
- Fenstervektor  $\vec{d} = (x, y, f(x, y))^T$



- Aber zu beachten: Binning muss geändert werden, da nur an Ecken eines Bins geprüft wird, dieser aber verzerrt wurde.



- Lösung: Virtuelle Verschiebung der für die Prüfung eines Dreiecks relevanten Ecken eines Bins.
- Nötige Verschiebung ergibt sich aus der Krümmung des Paraboloiden.
- Ähnliche Strategien können auch für andere nichtlineare Projektionen gefunden werden.

# Antialiasing und eindeutiges Rendern

## Kantenglättung

- Kantenglättung wie bei 2D Rasterung möglich  
→ Im Paper Verwendung von Multi-Sampling (MSAA) und Coverage-Sample-Anti-Aliasing (CSAA)

## Eindeutiges Rendern

- Bei 2D Rasterung existieren Konsistenzregeln (*top-left-convention*) um ein Pixel das von mehreren Dreiecken geschnitten wird eindeutig zuzuordnen.  
→ Jedes Pixel wird genau einmal einem Dreieck zugeordnet  
→ Verhindert Bildfehler bei Blending / Transparenzen
- Konsistenzregeln auf Basis der Ableitungen  $V_{i,x}$ ,  $V_{i,y}$  auch bei 3D Rasterung möglich
- Für Raytracing ist bisher kein vollständig konsistenter Renderalgorithmus bekannt.

# Kontinuum zwischen Ray Casting und Rasterung

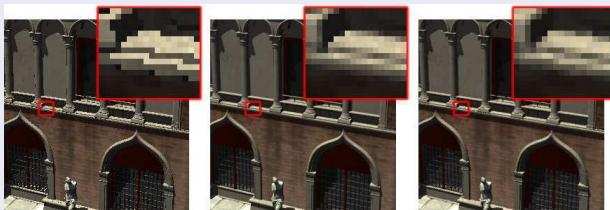
- Rasterung: Bearbeite alle Dreiecke der Szene in beliebiger Reihenfolge
  - Raytracing: Für jeden Strahl nur die minimal nötige Anzahl von Dreiecken auf dem Weg bearbeiten.
- 
- Mittelweg: Bearbeite jeweils alle Dreiecke in einem Pyramidenstumpf
  - Pyramidenstumpf gesamter Bildschirm: Reine Rasterung
  - Algorithmus unterstützt aber auch Frustum- und Occlusion Culling unter Nutzung einer BVH, sowie Strahl-Dreieck-Schnittpunktstests auf Pixelebene
  - Außerdem rekursive Unterteilung eines Pyramidenstumpfs möglich (mit folgender 3D-Rasterung für Dreiecke innerhalb des Stumpfes oder Per-Pixel-Tests)
  - Alle Renderoptionen mit und ohne Binning möglich

# Bilder

## Nichtlineare Verzerrungen



## Kantenglättung



Quelle: [1]



# Fazit

- 3D Rasterung als Rendermethode im Kontinuum zwischen 2D Rasterung und Ray Casting.
- Fließkommaoperationen statt Fixed-Point-Arithmetik
- Mit 3D Rasterung lassen sich Konzepte zwischen Ray Casting und Rasterung erfolgreich austauschen
- Kann merklich schneller sein als herkömmliche 2D Rasterung
- Möglicher Vorteil in der Zukunft: Berechnung von Globaler Beleuchtung (bzw. globalen Effekten)  
→ In 2D-Rasterung sehr schwer durchzuführen. In herkömmlichem Raytracing hoher Rechenaufwand.
- Die Autoren des Papers hoffen die bisherige Rendering-Pipeline zu vereinfachen.

# Teil IV

## Quellen

- 1 C. Dachsbacher, P. Slusallek, T. Davidovic, T. Engelhardt, M. Philips and I. Georgiev. *3D Rasterization - Unifying Rasterization and Ray Casting*. Technical report, Universität Stuttgart, 2009
- 2 A. Appel. *Some techniques for shading machine renderings of solids*. AFIPS '68 (Spring): Proceedings of the April 30-May 2, 1968, spring joint computer conference
- 3 J. Pineda. *A parallel algorithm for polygon rasterization*. Computer Graphics (Proceedings of SIGGRAPH '88), 22(4), 1988
- 4 T. Whitted. *An improved illumination model for shaded display*. Communication of the ACM, 23(6), 1980
- 5 *Real Time Raytracing*, Jeff Atwood, 10. März 2008, <http://www.codinghorror.com/blog/2008/03/real-time-raytracing.html>